

I-301 断続合成成形たの弾塑性曲げ性状および曲げ耐荷力について

大阪大学工学部 正員 瓦川 靖治
大阪大学工学部 正員 前田 幸雄

1. まえがき 連続合成成形たの中間支点上付近にすれ止めを配置しない、いわゆる断続合成成形たは、筆者らのそれを考慮した弾性数値解析結果¹⁾からも、負モーメント域の床版引張応力の低減に対して極めて有効な構造形式であることが確かめられた。しかし、すれ止めを配置する合成功部と配置しない非合成功部の境界付近には水平せん断力の集中現象がみられ、これは弾性解析では十分解明できず、すれ止めの荷重-すれ関係における非線形性を考慮する必要のあることがわかった。さらに、合成成形たの弾塑性曲げ性状は従来より内外において種々の解析法により調べられていて、断続合成成形たを対象としたものはないようである。そこで、本研究では従来の方法¹⁾を拡張した数値解析法により、断続合成成形たの弾塑性曲げ性状・耐荷力などについて調べることとした。

2. 解析方法

解析上の主な仮定は、(i)ひずみは床版および鋼板た内でそれぞれ平面保持する、(ii)床版と鋼板たとの曲率は等しい、(iii)鋼板およびコンクリートの応力-ひずみ関係は完全弾塑性体とする、(iv)すれ止め(スタッド)の荷重-すれ関係は図-3のように三つの折線で近似する、(v)コンクリートの引張応力は無視し、負モーメント域では床版内軸方向鉄筋と鋼板たとを合わせて鉄筋断面とする、などである。解析方法の概要是次のとおりである。すたを橋軸方向に均等分割し、すれ止めは各分割点に集中させ、各分割区间内ではひずみ一定とする。そこで、図-1より各区间のすれ止めひずみとの関係は

$$\delta_i - \delta_{i-1} = \int_{al} (E_{su} - E_{cu}) dx \quad (1)$$

$$\delta_i = \frac{N_{i+1} - N_i}{K_f} \quad (2)$$

ここに、 K_f : すれ止め常数 ($f=1, 2, 3$) (図-3参照)、 N : 軸力

(2)式を(1)式に代入すると軸力を未知数とする多元連立方程式が得られる。

部材がすべて弹性範囲内にある場合には、Newmark S によって導びかれた微分方程式の差分表示形と一致する。しかし、荷重増分により部材の一部が弹性範囲を越えた場合、各断面について、軸力を仮定することにより(2)式の K_f の値が定まり、また外力モーメントとの釣り合いを満たすひずみ分布を決定することができる、(1)式の右辺が計算できる。したがって、連立方程式を解くことにより軸力を求まり、この値がもとの仮定した道と異しくなるまで、適当に仮定軸力を修正しながら収束計算を行ふ。これと同時に塑性域の広がりとともにモーメント分布が変化するため、不静定力を逐次修正を行ふ。

3. 計算例 図-2に示す断面を有するスパン間連続成形た(片側支間長 7.5m)について、荷重状態、すれ止め配置を種々変化させ、けたの弾塑性曲げ性状・曲げ耐荷力およびすれ止めの挙動などを調べることとした。ここでは、荷重状態として(i)対称2点集中荷重で中間支点上断面が先に最終モーメントに到達する場合(ケースCN)と(ii)合成・非合成功部にかかる水平せん断力の集中がほぼ最大となる位置に片側1点集中荷重が作用する場合(ケースCQ)の2つを考え、スタッドの配置は各荷重状態に対し図-4および図-6中に示すように(単位長さ当たりのすれ止め密度で示す)計5種類に変化させた。なお、スタッドの荷重-すれ関係は図-3に示す。

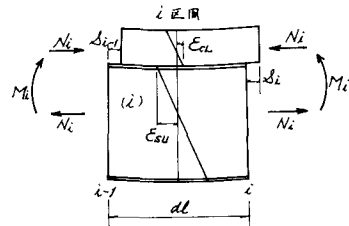


図-1 解析モデル

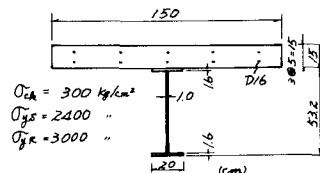


図-2 計算断面

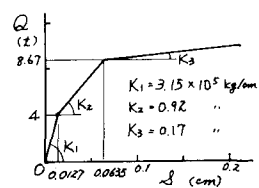


図-3 スタッドすれ常数

図-4はケースCNにおける中间支点上断面のM- ϕ 関係を示す。図中ケースCNOとはスラッド全長配置であり、CN3Rとは非合成区间長を負モーメント域の長さ(300cm)の70%とした場合であり、CN5Rとは同じく50%とした場合で、それぞれ水平せん断力の集中に対し境界部のずれ止め補強を行ってある。図より、非合成区间長が大きくなるにつれて、同一モーメントに対する曲率の値が大きくなり、特に断面の一部が塑性域に入るとその差がひじょうに大きくなることがわかる。また、今回解法では曲率の値が 2×10^{-4} rad/cm以上になると解の収束性が悪くなるため、このときのモーメントの値を一応断面の最終抵抗モーメントと見ることにした。

図-5はケースCNOとCN5Rにおける軸力、水平せん断力、それの荷載方向分布であり、図-4中に示した①～④に相当する3荷重段階について示したものである。両者はほぼ同一荷重について描いたものであるが、中间支点上の軸力に注目すると、弹性域①はもちろん、最終状態付近④でさりなり大きな差のあることがわかる。これに対し、正モーメント部分(端支点より約600cmまでの部分)の形状はどの荷重段階においても両者に明瞭な差異がみられず、中间支点上で非合成することによる正モーメント域の弾塑性挙動への影響はほとんど無いようである。

表-1は中间支点上断面の耐荷力について、全断面塑性矩形応力分布状態を基準にし、各ケースの計算値($\phi = 2 \times 10^{-4}$ rad/cmのときのモーメント)の比の値を示すが、非合成区间長が長くなるにつれて、耐荷力が若干低下する傾向を示している。

図-6はケースCQについて、境界部のスラッド1本当たりに作用する水平せん断力Qと荷重Pとの関係を示す。CQ5とは負モーメント区间長の50%を単に非合成としたものであり、CQ5Rとは境界部に追加スラッドを配置して補強したもののである。この図より、補強することによりスラッドの作用せん断力の大きさを、補強しない場合に比べて大幅に低減せらるることができることは、最も作用せん断力を相当小さく抑えられることができるようである。このことより、境界部付近への追加スラッドへ配置は水平せん断力の集中によるスラッドの早期破壊を避けるのに極めて有効であると考えられる。

文献：1)前田,猿川,中谷,第30回年次講演会概要集, I-109 , 2)前田,猿川,中谷,昭和51年度東西支那年次講演会, I-24

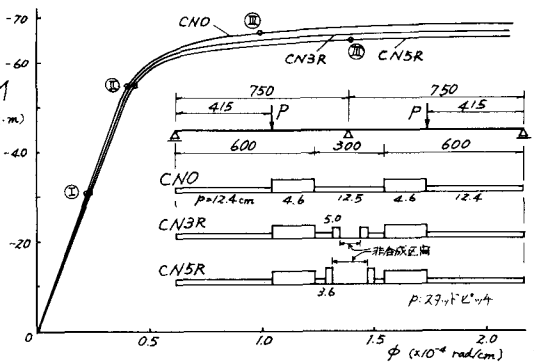


図-4 M- ϕ 曲線

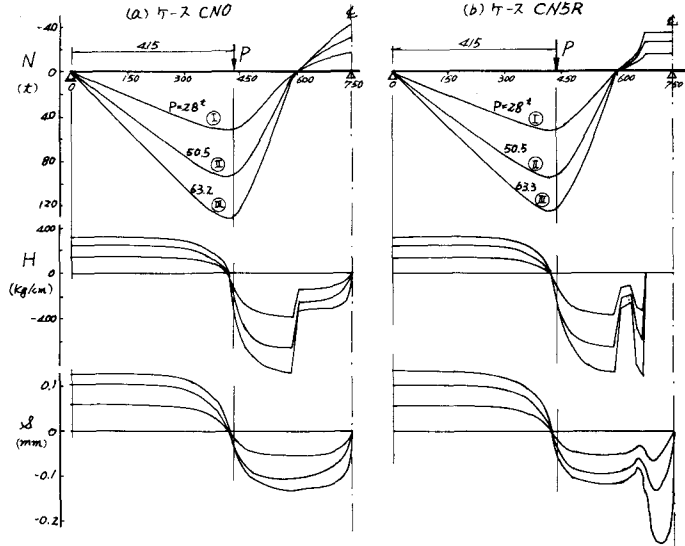


図-5 軸力、水平せん断力およびそれの分布状況

表-1 耐荷力の比

| 全断面塑性矩形応力分布 | CNO | CN3R | CN5R |
|-------------|-------|-------|-------|
| 1.0 | 0.998 | 0.969 | 0.955 |

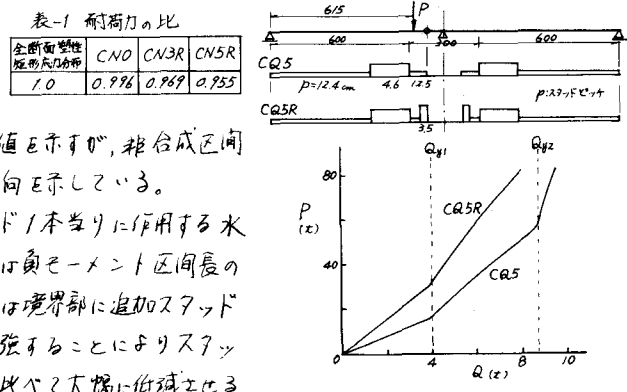


図-6 P-Q曲線